

## بورسی غیرمخرب خواص دینامیک چوب راش با روش ارتعاش آزاد در تیر دوسر آزاد

مصطفی کهن‌ترابی<sup>۱\*</sup>، فرداد گلبابائی<sup>۲</sup> و حسین حسین‌خانی<sup>۲</sup>

\*- نویسنده مسئول، دانشجوی دکترای تخصصی، گروه علوم و صنایع چوب و کاغذ، دانشگاه آزاد اسلامی واحد علوم و تحقیقات، تهران  
پست الکترونیکی: mostafa.kohantorabi@yahoo.com

- عضو هیئت‌علمی، بخش تحقیقات علوم چوب و فراورده‌های آن، مؤسسه تحقیقات جنگلها و مراتع کشور، تهران

تاریخ پذیرش: مهر ۱۳۹۳ تاریخ دریافت: اسفند ۱۳۹۲

### چکیده

در این مطالعه اثر شیوه آزمون بر روی اندازه‌گیری خواص دینامیک گونه راش با دو روش ارتعاش خمی با روش تئوری تیر تیموشنکو و ارتعاش طولی آزاد مورد بررسی قرار گرفته است. تعداد ۲۹ نمونه با ابعاد  $204 \times 36$  سانتی‌متر (شعاعی، مماسی، طولی) تحت آزمون ارتعاش خمی و طولی آزاد در تیر دوسر آزاد قرار گرفته و خواص آکوستیک حاصل از هر روش مورد مقایسه قرار گرفت. نتایج حکایت از همبستگی مطلوب بین مدول الاستیسیته و ضریب آکوستیک محاسبه شده اندازه‌گیری شده از هر دو روش بود. مقادیر میرایی ارتعاش حاصل از ارتعاش خمی به طور معنی‌داری بیشتر از مقادیر اندازه‌گیری شده این فاکتور در ارتعاش طولی بود، در حالی‌که مقادیر اندازه‌گیری شده از کارایی تبدیل آکوستیک حاصل از ارتعاش خمی کوچک‌تر از مقادیر اندازه‌گیری شده این فاکتور در ارتعاش طولی بود. بین مدول برشی حاصل از ارتعاش خمی با مدول الاستیسیته حاصل از هر دو روش آزمونی نیز همبستگی مطلوبی برقرار بود که این امر امکان تخمین مدول برشی را از روی مقادیر مدول الاستیسیته حاصل از ارتعاش طولی فراهم می‌نماید. همچنین نتایج حکایت از همبستگی بسیار مطلوب سرعت فاز بین مدهای اول تا سوم ارتعاش خمی داشت. ضمن اینکه بین سرعت صوت حاصل از ارتعاش طولی و سرعت فاز هر سه مد اول ارتعاش خمی همبستگی بسیار مطلوبی برقرار بود.

واژه‌های کلیدی: ارتعاش آزاد، خواص دینامیک، سرعت فاز، مدول برشی، تئوری تیر تیموشنکو.

می‌توان از این آزمون‌ها در مقیاس صنعتی، برای بهبود فرایند کنترل کیفیت مواد خام و حتی پیش‌بینی خواص محصول نهایی استفاده کرد. آزمون‌های غیرمخرب به دلیل توانایی پیش‌بینی خصوصیات مواد چوبی از اهمیت قابل توجهی در صنعت چوب برخوردار هستند (Hu *et al.*, 2005; Wang *et al.*, 2008). بنابراین از این آزمون‌ها در دهه‌های اخیر، برای درجه‌بندی محصولات چوبی بسیار استفاده شده است. نمونه‌های کاربرد آزمون‌های غیرمخرب در صنعت چوب شامل تعیین مقاومت خمی تخته تراشه‌های پوسیده شده در هنگام مصرف، تعیین مدول الاستیسیته اتصالات، بررسی کیفیت چوب‌های اشیاع شده با کریوزوت و تعیین مقاومت

مقدمه آزمون غیرمخرب (NDE)، تکنیک تعیین خصوصیات فیزیکی و مکانیکی قطعه‌ای از ماده بدون تغییر در قابلیت استفاده نهایی از آن است که اطلاعات دقیقی در مورد خصوصیات، کارایی و یا شرایط مواد در هنگام مصرف تهیه می‌کند. استفاده از این تکنیک برای درجه‌بندی چوب‌آلات، بررسی چوب‌آلات زمان سرویس در سازه‌ها، با توجه به کمبود منابع چوبی و هزینه‌های ترمیم و بازسازی سازه‌ها در حال گسترش است (Ross & pellerin; 1994). همچنین

استانداردها با توجه به گونه‌های غیربومی ایران تدوین شده است (Iso 338; Iso 384; Iso14081-1 and ect). بنابراین نمی‌توانند به صورت بومی به ما پاسخ دهند؛ از این‌رو در این تحقیق به دنبال راهی برای ارزیابی روش ارتعاش طولی نسبت به روش تیر تیموشنکو (تحقیقات بسیاری جهت کاربرد این روش روی گونه‌های داخلی انجام شده است) برای گونه راش ایران برای تعیین خواص دینامیک منطبق بر شرایط کشور و قوانین ملی استاندارد ایران و نیز یافتن رابطه معنی‌دار بین فاکتورهای محاسبه شده با هر دو روش غیرمخرب هستیم. این امر باعث می‌شود که جلوی قطع بی‌رویه درختان در جنگلهای رو به زوال ایران را گرفته و واردات چوب را کاهش دهیم و همچنین در صورت لزوم به واردات این کالا، از ورود کالای با کیفیت نازل به کشور جلوگیری نماییم و حداقل نیاز داخلی خود را با توجه به این استانداردها و منابع موجود به بهترین نحو برطرف سازیم.

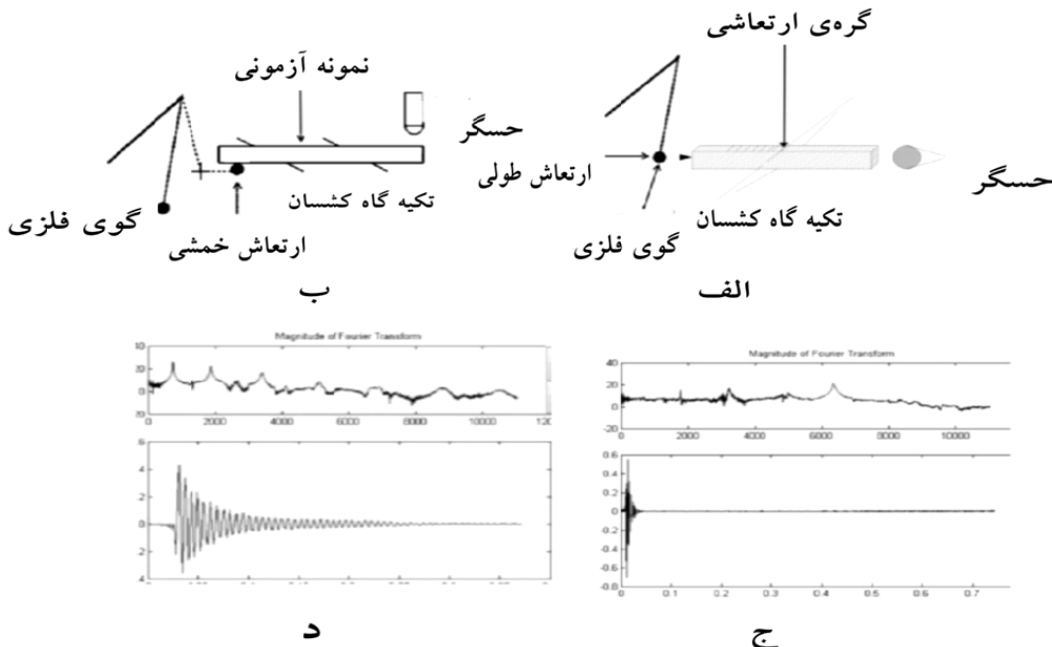
## مواد و روش‌ها

تعداد ۴۰ نمونه کاملاً سالم و راست تار از درون چوب یک گرده‌بینه‌ی راش (*Fagus orientalis* L.) بدون هرگونه عیب و ایراد ظاهری، از جمله گره، ترک، پوسیدگی و ... بر طبق استاندارد بین‌المللی ISO شماره ۳۱۲۹ و با ابعاد ۳۶×۴×۲ سانتی‌متر (طولی، مماسی، شعاعی) و با سطح مقطع مستطیلی شکل برای انجام آزمون انتخاب شدند. نمونه‌ها به منظور یکسان‌سازی رطوبت به مدت ۲ هفتگه در اتاق کلیماتیزه  $20\pm 2$  درجه‌ی سانتی‌گراد حرارت و  $65\pm 5$  درصد رطوبت نسبی) قرار گرفتند. پس از طی مدت مذکور به منظور اطمینان بیشتر از عاری بودن نمونه‌ها از عیوب پنهان داخلی، نمونه‌های آزمونی تحت آزمون ارتعاش خمی آزاد در تیر دو سر آزاد قرار گرفته و براساس تئوری تیر تیموشنکو نمونه‌هایی که دارای بیشترین همبستگی (همبستگی بالای ۰/۹۸) بین مدهای اول تا سوم ارتعاشی بودند برای ادامه‌ی آزمون انتخاب شدند. این معیار برای انتخاب نمونه‌ی آزمونی، در تحقیقات پیشین مورد استفاده قرار گرفته است (Kohantorabi *et al.*, 2011; Kohantorabi and Roohnia, 2012; Hossein, 2009, 2013). بر این اساس تعداد ۲۷ نمونه از نمونه‌های اولیه حائز شرایط برای ادامه‌ی تحقیق بوده و پس از اندازه‌گیری ابعاد و وزن، مورد

الوارهای لایه‌ایست (Nzoku *et al.*, 2006). همچنین تحقیقات متعددی در رابطه با اندازه‌گیری مدول الاستیسیته دینامیک و مقایسه آن با مدول الاستیسیته استاتیک تخته‌های چوبی و فراورده‌های مرکب‌چوبی انجام شده است که در تمامی این تحقیقات به همبستگی بالای بین نتایج حاصل از آزمون استاتیک و دینامیک اشاره شده است (Hu *et al.*, 2005; Liu *et al.*; 2006; Brancherieu *et al.*; 2002) اهمیت آزمون‌های غیرمخرب به گونه‌ای است که در اغلب کدها و استانداردهای بین‌المللی معتبر موجود در زمینه ساخت، تعمیر و نگهداری تجهیزات و قطعات، اجرای یک یا چند روش آزمون غیرمخرب در روال بازرگانی و کنترل کیفی به صورت الزام آورده شده است. از طرفی یکی از مهمترین رویه‌ها در هر فرایندی رویه تضمین کیفیت است که باید بر اساس استاندارد یا دستورالعمل مشخصی اجرا گردد. سری استانداردهای ایزو ۹۰۰۰ به همین منظور تدوین شده‌اند و به عنوان معتبرترین و رایج‌ترین استانداردهای سیستم مدیریت کیفیت در جهان شناخته شده‌اند. به طوری که در بسیاری از کشورهای پیشرفته در زمینه صنایع چوب و محصولات وابسته به آن، اعمال استانداردهای فوق به نحو چشمگیری جایگزین روش‌های مخرب و وقت‌گیر استاتیکی (مانند: ASTM-D1037, EN-310 و ...) در زمینه درجه‌بندی نمودن و ارزیابی خواص مقاومتی چوب‌آلات گردیده است. از بین روش‌های غیرمخرب موجود، روش ارتعاش آزاد، به دلیل سهولت و سرعت به طور گسترده‌ای (Ross & Pellerin., 1994; Ayarkawa., 2000; Alberktas & Vobolis., 2004) مورد توجه است. از سویی دیگر کشور ایران جزو مناطق فقیر از نظر پوشش جنگلی است. بنابراین ارائه روش‌های نوین برای آشنایی و ارزیابی خواص الاستیک منابع موجود قبل و در زمان مصرف، بدون ایجاد تغییر در ساختار و قابلیت استفاده نهایی آنها، علاوه بر اینکه موجب صرفه‌جویی در استفاده منابع چوبی و استفاده این منابع در کاربرد مناسب به خود می‌گردد، باعث حصول اطمینان از سلامت سازه تولیدشده در زمان دوره نیز مصرف می‌گردد که این موارد سبب استفاده منطقی و اقتصادی از منابع محدود چوبی کشور و جلوگیری از قطع بی‌رویه چوب از منابع جنگلی می‌گردد. از طرف دیگر، از آنجایی که استانداردها یک روش واحد برای گونه‌های مختلف است، بنابراین می‌توان از آن برای اనواع گونه‌ها استفاده نمود ولی

(Roohnia *et al.*, 2009) با همان فرکانس نمونه برداری قرائت گردید. با ورود اطلاعات ابعاد واقعی و وزن نمونه ها، به تحلیل گرهای ذکر شده، محاسبات مربوط به ویژگی های دینامیکی انجام شد.

آزمون ارتعاش خمی در صفحه‌ی طولی- مماسی و آزمون ارتعاش طولی قرار گرفتند (شکل ۱). ضبط اصوات و ذخیره‌ی آن توسط نرم‌افزار Audacity® انجام شد و فایل صدا در LStress® NDT-lab® ارتعاش خمی توسط سیستم‌های



شکل ۱- (الف) ارتعاش خمی آزاد در تیر دو سر آزاد (Berangerchiau *et al.*, 2010)، (ب) ارتعاش طولی آزاد در تیر دو سر آزاد (Roohnia *et al.*, 2012)، (ج) سری فوریه به دست آمده شامل سه مد ارتعاشی به انضمام کاهش مد اول ارتعاش در واحد زمان، (د) سری فوریه به دست آمده از تحلیل ارتعاش طولی

$$a_n = \frac{[4\pi^2 l^2 f_n^2 (1 + \alpha F_{1n})]}{\alpha m_n^4} \quad (3)$$

$$\nu = \frac{\omega}{k} = f \cdot \lambda \quad (4)$$

ضریب شکل است که در اینجا حدود ۰/۸۳۳ است.  $E$  مدول الاستیسیته (Pa)،  $G$  مدول برشی (Pa) و  $\rho$  جرم ویژه ( $\text{g}/\text{m}^3$ ) و  $f_n$  فرکانس  $n$  امین مد ارتعاش،  $v$  سرعت فاز در مدهای ارتعاشی اول تا سوم ( $\text{m}/\text{s}$ )،  $\omega = 2\pi f$  فرکانس

محاسبات مدول الاستیسیته و سرعت فاز، در ارتعاش خمی از طریق روابط ذیل توسط سیستم NDT-lab® انجام شد (Bordonne, 1989).

$$a_n = \left( \frac{E}{\rho} \right) - \left( \frac{E}{K \times G} \right) b_n \quad (1)$$

$$b_n = \frac{4\pi^2 l^2 f_n^2 F_{2n}}{m_n^4} \quad (2)$$

جرم نمونه (g)، V سرعت صوت در چوب (m/s) و 1 طول نمونه (mm)

میرایی حاصل از ارتعاش (شکل ۲) که شاخصی برای میزان افت ارتعاش در طول زمان است از طریق رابطه‌ی زیر با توجه به نوع شیوه‌ی روش آزمون از طریق سیستم مربوط به آن محاسبه گردید.

$$\lambda = \frac{1}{n} \ln \left| \frac{x_1}{x_{n+1}} \right| \quad (7)$$

د، آ،: ۱: بلندی اولیه موج در حال کاهش و  $x_{n+1}$ : بلندی n امین موج پس از موج متناظر با  $x_1$ .

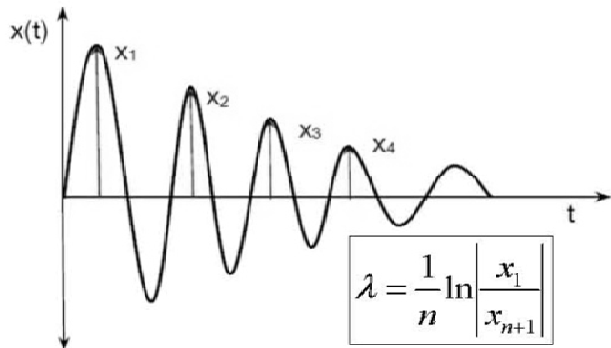
زاویه‌ای و f فرکانس،  $k = \frac{2\pi}{\lambda}$  ثابت انتشار موج و  $\lambda$  طول موج است.

محاسبه‌ی مدول الاستیسیته‌ی دینامیک نمونه‌ها از طریق ارتعاش طولی از طریق روابط زیر و توسط سیستم LStress® انجام شد.

$$E = \rho v^2 \quad (5)$$

$$V = 2lf \quad (6)$$

در آن: E مدول الاستیسیته‌ی دینامیک (Pa)،  $\rho$  جرم ویژه m، F فرکانس طبیعی n امین مد ارتعاش (Hz)،  $v$  (g/m³)



شکل ۲- نمایش فاکتور کاهش به روش لحظه‌ای با استفاده از کاهش لگاریتمی  $\lambda$

همبستگی بین مقادیر حاصل شده از ویژگی‌های دینامیک حاصل از دو آزمون ارتعاش خمسی و ارتعاش طولی آزاد در تیر دوسرآزاد توسط آزمون همبستگی پیرسون و برآنش مدل رگرسیونی بررسی شد. مقایسه‌ی میانگین‌های هر یک از ویژگی‌های مکانیکی حاصل از دو روش آزمونی نیز توسط آزمون آماری T test انجام شد. برای انجام آزمون‌های آماری از نرم‌افزار SPSS Ver. 11.5 و برای رسم نمودار و خط رگرسیون از نرم‌افزار MS EXCEL استفاده گردید.

ضریب آکوستیک (AC) و کارایی تبدیل آکوستیک که از فاکتورهای مهم آکوستیکی چوب‌آلات است توسط روابط زیر محاسبه شدند.

$$K = \sqrt{\frac{E}{\rho^3}} \quad (8)$$

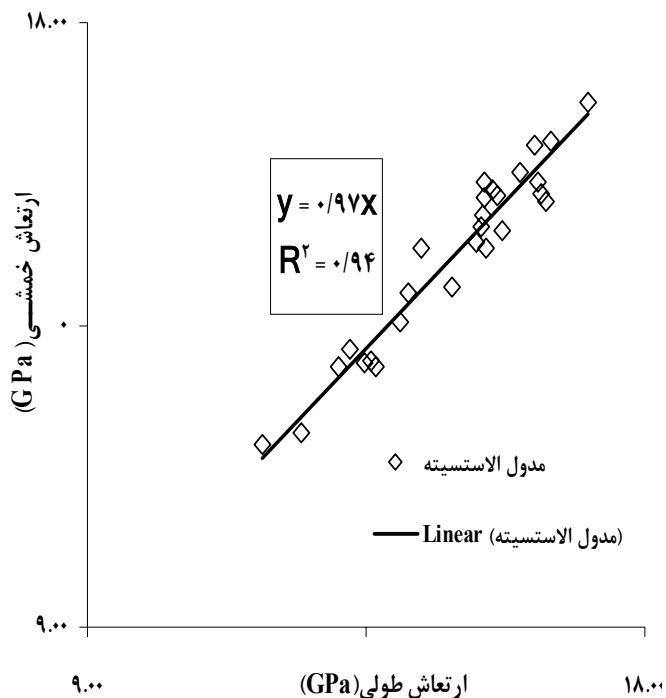
$$ACE = \frac{K}{Tan\delta} \quad (9)$$

در آن K ضریب آکوستیک و واحد آن  $E, M^4/s.Kg$  مدول الاستیسیته‌ی دینامیک (Pa) حاصل از ارتعاش خمسی و ارتعاش طولی،  $\rho$  جرم ویژه، ACE کارایی تبدیل آکوستیک و  $Tan\delta$  میرایی ارتعاش است.

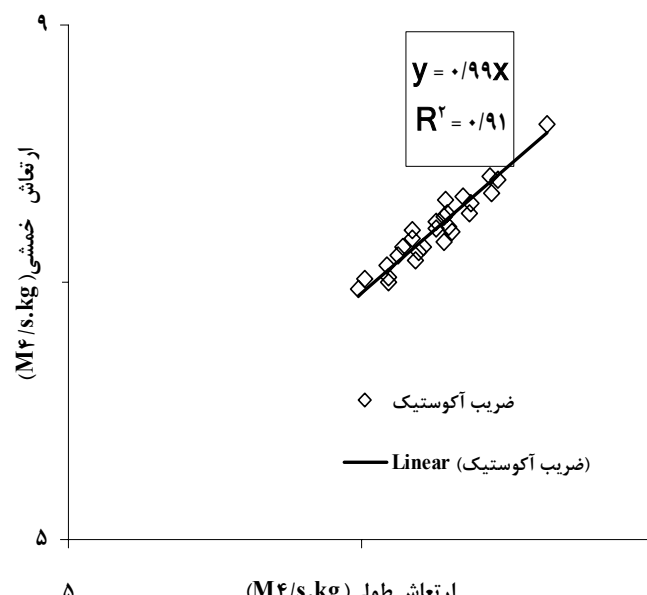
## نتایج

نشان می‌دهد. توسط آزمون پیرسون همبستگی معنی‌داری بین مدول الاستیسیته و ضریب آکوستیک محاسبه شده در هر دو شیوه‌ی آزمونی مشاهده گردید.

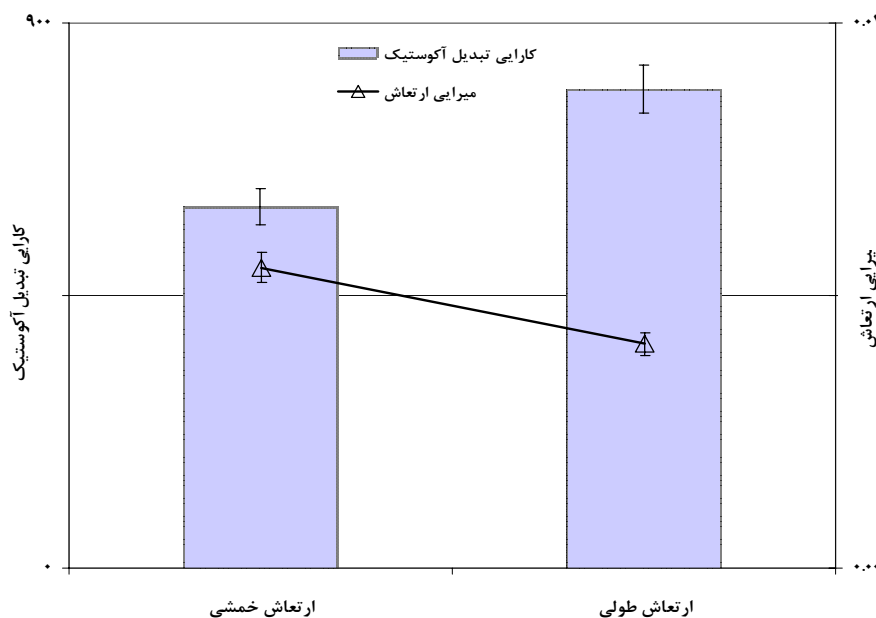
شکل ۳ و ۴ مقادیر محاسبه شده مدول الاستیسیته و ضریب آکوستیک حاصل از هر دو روش آزمونی آرتعاش خمثی و ارتعاش طولی را در مقایسه با یکدیگر



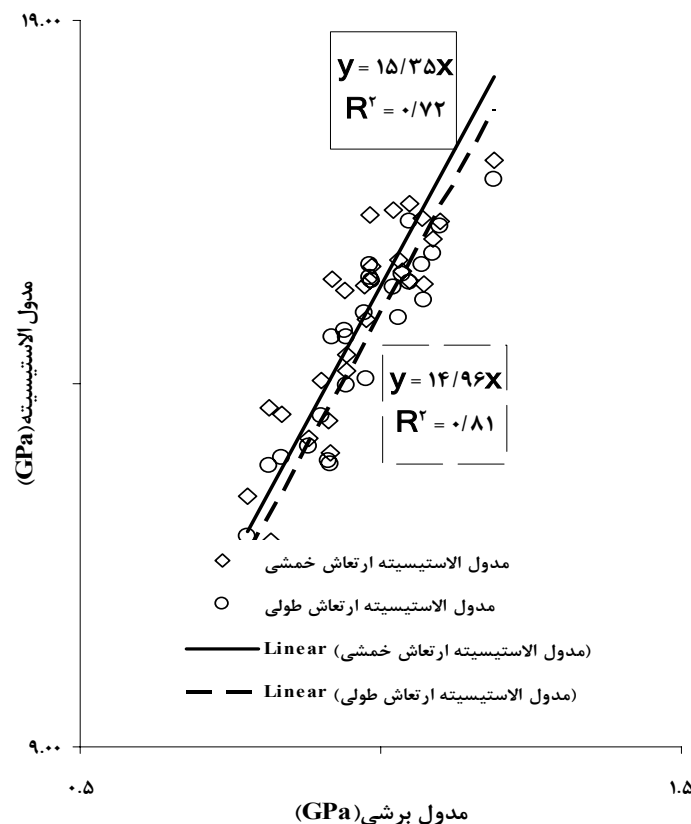
شکل ۳- مقایسه‌ی اثر شیوه‌ی آزمون در اندازه‌گیری مقادیر مدول الاستیسیته‌ی دینامیک



شکل ۴- مقایسه‌ی اثر شیوه‌ی آزمون در اندازه‌گیری مقادیر ضریب آکوستیک



شکل ۵- مقایسه اثر شیوه‌ی آزمون در اندازه‌گیری مقادیر میرایی ارتعاش و کارایی تبدیل آکوستیک

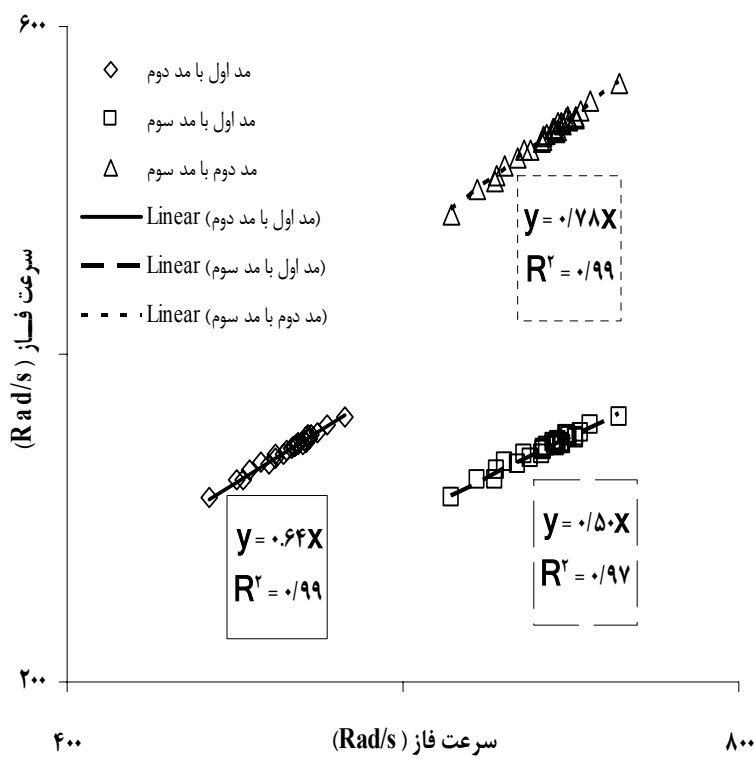


شکل ۶- مقایسه مدول الاستیسیته محاسبه شده از دو روش ارتعاش خمسی و طولی با مقادیر مدول برشی حاصل از ارتعاش خمسی

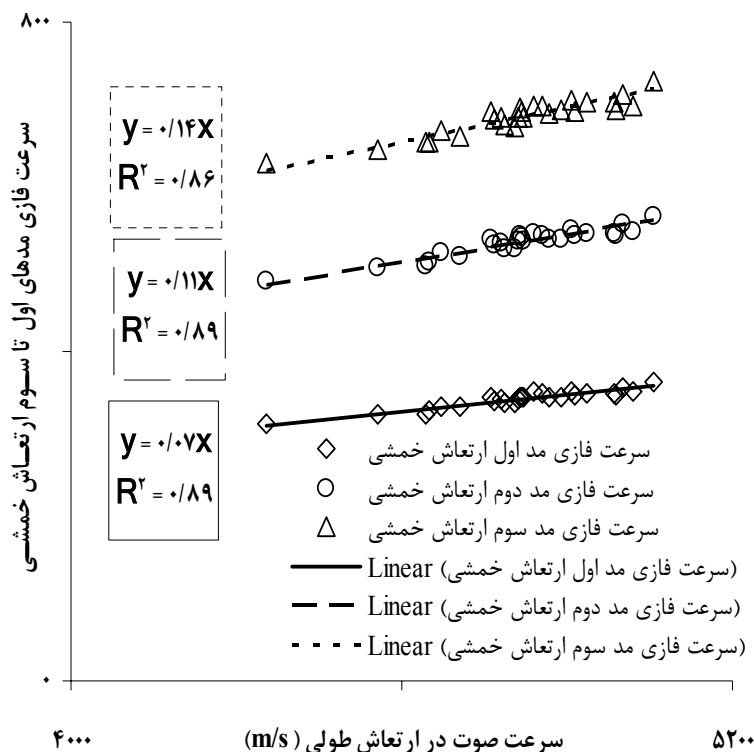
خمشی را به نمایش گذاشته است. همان‌طور که در این شکل مشاهده می‌شود بین سرعت فازی حاصل از مدد اول ارتعاش خمشی و مدهای دوم و سوم، همبستگی مطلوبی برقرار است. در شکل ۸ مقایسه‌ی سرعت صوت حاصل از ارتعاش طولی به سرعت فازی مدهای اول تا سوم ارتعاش خمشی به نمایش درآمده است. آزمون پیرسون همبستگی معنی‌داری را بین سرعت خطی صوت در ارتعاش طولی و سرعت زاویه‌ای (سرعت فاز) مدهای اول تا سوم خمشی نشان داد که این همبستگی به صورت رگرسیون خطی در این شکل به نمایش درآمده است.

تأثیر روش آزمونی بر نتایج حاصل از میرایی ارتعاش و کارایی تبدیل آکوستیک در شکل ۵ نشان داده شده است. همان‌طور که در این شکل مشاهده می‌گردد، به ترتیب مقادیر میرایی ارتعاش و کارایی تبدیل آکوستیک حاصل از ارتعاش خمشی به طور معنی‌داری بزرگ‌تر و کوچک‌تر از مقادیر محاسبه‌شده توسط آزمون ارتعاش طولی می‌باشد. آزمون پیرسون همبستگی معنی‌داری بین مدولبرشی با هریک از مدول‌الاستیسیته‌های حاصل از ارتعاش خمشی و ارتعاش طولی نشان داد که این همبستگی به صورت رگرسیون خطی در شکل ۶ مشاهده می‌شود.

شکل ۷ مقادیر سرعت فاز مدهای اول تا سوم ارتعاش



شکل ۷- مقایسه‌ی سرعت فاز مدهای ارتعاش خمشی



شکل ۸- مقایسه‌ی سرعت صوت حاصل از ارتعاش طولی با سرعت فازی مدهای اول تا سوم ارتعاش خمشی

جدول ۱- میانگین مقادیر کمی ویژگی‌های آکوستیکی محاسبه شده

| سرعت فازی<br>(Rad/s) | سرعت صوت (m/s) |         | کارایی تبدیل آکوستیک | مودل برپیشی (GPa) | میرایی ارتعاش | ضریب آکوستیک<br>(m <sup>4</sup> /s.kg) | مودل الاستیسیته<br>(GPa) |        |        |      |      |       |       |
|----------------------|----------------|---------|----------------------|-------------------|---------------|--|--------------------------|--------|--------|------|------|-------|-------|
|                      | L              | F       |                      |                   |               |  |                          |        |        |      |      |       |       |
| -                    | ۵۱۴/۸۰         | ۴۸۱۵/۰۸ | -                    | -                 | ۰/۰۹۷         | ۷۹۱/۸۰                                 | ۵۹۶/۷۵                   | ۰/۰۰۹۹ | ۰/۰۱۲۲ | ۷/۵۱ | ۷/۴۱ | ۱۴/۹۲ | ۱۴/۵۳ |

۱: ارتعاش خمشی - ۲: ارتعاش طولی

خمشی، خصوصیات ویسکوالاستیک و همچنین اختلاف سرعت ارتعاش در دو جهت مورد ارتعاش بوده و میزان این اختلاف را بین ۵-۳ درصد بیان داشته‌اند Hashemi (2010) tabalvandi.t به کاررفته جهت محاسبه مقادیر مدل الاستیسیته دینامیک مناسب است، اما با توجه به نتایج حاصل، به نظر می‌رسد در درجه‌بندی نمودن چوب‌آلات، به دلیل اختلاف موجود بین مقادیر حاصل از دو روش مورد استفاده، گزارش روش مورد استفاده در محاسبه مقادیر مدل الاستیسیته دینامیک ضروریست. ضریب آکوستیک یکی از پارامترهای

### بحث

روش‌های محاسباتی بکار برده شده برای تعیین ویژگی‌های دینامیکی در جهات شعاعی- طولی و طولی نمونه‌های آزمونی مورد بررسی قرار گرفت. همان‌طور که در نتایج مشاهده گردید بین مدل الاستیسیته حاصل از دو روش ارتعاش خمشی و طولی آزاد همبستگی بسیار مطلوبی برقرار است. مقادیر مدل الاستیسیته حاصل از ارتعاش طولی اندکی بزرگ‌تر از نتایج مشابه حاصل از ارتعاش خمشی است که علت این امر در تحقیقات پیشین خیز برپیش ایجاد شده در تکیه‌گاه‌های مورد استفاده در آزمون ارتعاش

عدم کارایی این روابط و معادلات برای محاسبهٔ فاکتور ذکر شده شوند (Roohnia *et al.*, 2010a). بنابراین با توجه به نتایج حاصل از این تحقیق، در هنگام بروز مشکلاتی از قبیل وجود معاویب داخلی که سبب کاهش ضریب همبستگی بین سه مد اول ارتعاش خمی به‌واسطهٔ جابه‌جای ایجاد شده در موقعیت قرارگیری مدهای ارتعاشی اول تا سوم و حتی در مواردی منجر به عدم دسترسی به مدهای دوم و سوم ارتعاشی در نمونه‌های آزمونی می‌گردد نتایج حاصل از محاسبات مدول‌الاستیسیته توسط روش ارتعاش طولی می‌تواند برای تخمین مدول‌برشی دینامیک مؤثر و کارا باشد. با توجه به فاصله‌ی مشخص بین مدهای ارتعاشی در نمونه‌های سالم و عاری از عیب و از سوی دیگر، تأثیر معاویب موجود در جسم مورد ارتعاش بر روی سرعت فازی هر مد ارتعاشی، به نظر می‌رسد فاکتور مذکور گزینه‌ای مناسب برای تشخیص معاویب درونی چوب در راه درجه‌بندی نمودن چوب باشد. شایان ذکر است که در منابع موقعیت تقریبی قرارگیری هر مد ارتعاشی در جسم مورد ارتعاش تعیین گردیده است (Harris; 2009) بنابراین به نظر می‌رسد می‌توان از روی تغییرات به وجود آمده در سرعت فازی هر مد ارتعاشی که در تحقیق حاضر همبستگی مطلوبی را از خود نشان دادن، مکان تقریبی عیب‌های احتمالی موجود را نیز تعیین نمود که البته این امر مستلزم تحقیقات بیشتر است. نتایج همچنین حکایت از همبستگی مطلوب سرعت صوت حاصل از ارتعاش طولی با سرعت فازی حاصل از هر سه مد اول ارتعاش خمی دارد. پیش‌ازاین تحقیق مشابهی مبنی بر مقایسه این دو فاکتور با یکدیگر مشاهده نشده است، اما به نظر می‌رسد با توجه به همبستگی مناسب این دو فاکتور و اختلاف ایجاد شده در نسبت بین این دو فاکتور می‌توان برای درجه‌بندی چوب‌آلات استفاده نمود که البته این امر نیز مستلزم مطالعات بیشتر بر روی گونه‌های بیشتر و مقایسه‌ی نتایج چوب‌آلات سالم با چوب‌آلات معیوب است.

#### منابع مورد استفاده

- Alberktas, D. Vobolis., J. 2004. Modeling and Study of Glued Panel Materials Science(medziagotyra). Vol. 10(4). 370-373
- ASTM, 2002, Standard Test Method for Dynamic Young's Modulus, Shear Modulus, and Poisson's

مهم در برآورد ویژگی آکوستیکی یک جسم است که تحت تأثیر مدول‌الاستیسیته ( $E$ ) و جرم ویژه ( $\rho$ ) است. البته هرچه مقدار این ضریب در چوب و فراورده‌های آن بالاتر باشد آن محصول برای استفاده در مصارف آکوستیکی مناسب‌تر است. در یک نمونه‌ی چوبی مورد آزمون، هرچه مقدار جرم ویژه کمتر باشد و در عوض مدول‌الاستیسیته آن بالاتر باشد، ضریب آکوستیک در آن نمونه بالاتر بوده و طبق تصوری راحت‌تر مرتعش شده و ارتعاش آن دیرتر میرا می‌شود؛ بنابراین با توجه به توضیحات ارائه شده در مورد اختلاف نتایج حاصل از دو روش مورد تحقیق، اندکی بزرگ‌تر بودن مقادیر حاصل از ارتعاش طولی نسبت به ارتعاش خمی بدینه‌ی است. صدایی که از ارتعاش یک جسم ساعت می‌شود، یا از یک منبع بیرونی به جسم برخورد می‌کند و آن را مرتعش می‌سازد، به مرور میرا می‌شود که ناشی از مصرف انرژی آکوستیکی ارتعاش آن است. محققان تاکنون کمتر بودن مقادیر حاصل از ارتعاش طولی این فاکتور را نسبت به ارتعاش خمی تعدادی از گونه پهن برگ گزارش نموده‌اند (Tsoumis; 1991) که نتایج این تحقیق نیز مبنی ضریب آکوستیک فاکتوری کارا در درجه‌بندی نمودن چوب‌آلات مورد استفاده در مصارف آکوستیکی از قبیل صفحات تشید صدا، سالن‌های آمفی‌تلاتر و غیره بوده که با میرایی ارتعاش نسبت عکس دارد. البته هرچه مقدار ACE بیشتر باشد، آن چوب از لحاظ آکوستیکی دارای شرایط بهتری برای انتخاب به عنوان کارکرد در مصارف مذکور را خواهد داشت (Obataya *et al.*, 2000). بنابراین با توجه به اختلاف موجود بین مقادیر حاصل از میرایی ارتعاش در دو روش مورد تحقیق بزرگ‌تر بودن مقادیر حاصل از ارتعاش طولی نسبت به ارتعاش خمی قابل توجیه است. نتایج حکایت از همبستگی بسیار مطلوب مقادیر مدول‌الاستیسیته حاصل از هر دو روش ارتعاش خمی و طولی آزاد با مقادیر حاصل از مدول‌برشی حاصل از ارتعاش خمی دارد. روابط و معادلات مورد استفاده در آزمون ارتعاش خمی، برای محاسبه و برآورد مدول‌برشی چوب‌های عاری از عیب‌های ظاهری و داخلی کاربرد دارند و هنگامی که نمونه‌ی آزمونی حاوی این گونه عیب‌ها باشد، به دلیل نقش معاویب در کاهش همگنی نمونه‌ی آزمونی، به تبع تأثیر بر روی ضریب همبستگی سه مد اول ارتعاش خمی، ممکن است سبب

- Liu, Z. Y. Liu, H. Yu & J. Yuan., 2006. Measurement of the dynamic modulus of elasticity of wood panels; Holz als Roh- und Werkstoff, 4: 1-6.
- Nakao, T. Okano, T. Asano, I. 1985, Theoretical and experimental analysis of flexural vibration of the viscoelastic Timoshenko beam, Journal of Applied Mechanics Vol.52, p728-731
- Nzokou, P. Freed, J. & Kamden, DP., 2006. Relationship between non destructive and static modulus of elasticity of commercial wood plastic composites; Holz als Roh- und Werkstoff; 64: 90-93.
- Obataya, E., T. Ono & M. Norimoto . 2000 . Vibrational properties of wood along the grain . Journal of materials science . 35: (2993 – 3001)
- Roohnia, M. Yavari, A, Tajdini, A., 2010a. Elastic Parameters of Poplar Wood with End-Cracks, Annals of Forest Science., 67: 409p<sub>1</sub>-409p<sub>6</sub>.
- Roohnia, M. Tajdini, A. and Manouchehri, N., 2010b. Effect of drilling as artificial defects on dynamic shear modulus of wood, November 10 - 12, 2010 - Hotel Angelo, Pilzen - Czech Republic.
- Roohnia, M. Kohantorabi, M. Jahan Latibari, A. Tajdini, M. Ghaznavi, M., 2012., Nondestructive assessment of glued joints in timbers applying vibration-based methods. European Journal of Wood and Wood Products, 70: 791-799
- Ross, R.J. Pellerin,RF., 1994. Nondestructive Testing for Assessing Wood Members in Structures; USDA Society Review.
- Tsoumis, G. 1991., Science and technology of wood: Structure, properties, utilization. Van Nostrand Reinhold, New York.
- Vobolis, J. Aleksiejūnas, M., 2003. Investigation of Wood Mechanical Properties by the Resonance Vibrations Method; Journal of Materials Science; 9: 139-143.
- Wang, S. Chen, J. Tsai, M. Lin, C & Yang, T., 2008. Grading of softwood lumber using non-destructive techniques; Journal of Material Processing Technology; 208: 149-158.
- Ratio of Refractory Materials by Impulse Excitation of Vibration, Designation C1548. 7p.
- Ayarkwa, J. Hirashima, Y. and Sasaki, Y., 2001. Predicting modulus of rupture of solid and finger jointed tropical African hardwoods using longitudinal vibration, Forest Prod. J. 51(1), 85-92.
- Bodig, J. Jayne, B., 1989, Mechanics of wood and wood composites (Persian translation). Tehran University press.
- Bordonné PA., 1989. Module dynamique et frottement intérieur dans le bois: Mesures sur 638outers flottantes en vibrations naturelles Thèse de doctorat de l'INP de Lorraine soutenue à Nancy. 154 p.
- Brancherieu, L. Bailleres, H., 2002. Natural vibration analysis of clear wooden beams: a theoretical review, Wood Science and Technology, 36 pp. 347-365
- Harris, Cyril M. 1998, Shock and vibration handbook (6th Edition), 2009. McGraw-Hill, New York. 1168 pages.
- Hashemi tabalvandi, S M., 2010. Young and Shear moduli, in static and dynamic standard approach. Msc thesis in Islamic Azad University Karaj Branch. 124pp
- Hossein.MA, Roohnia, M . Shahverdi, M. 2009, Some footprints of wood internal defects on three first mode-shapes of free vibration.16<sup>th</sup> international symposium on nondestructive testing and evaluation of wood, Beiging, China.
- Hu, Y. Nakao, T. Nakai, J. Gu ,F., 2005. Dynamic properties of three types of wood-based composites; Journal of Wood Science and Technology; 51: 7-12.
- Kohantorabi, M. Ghaznavi, M. Roohnia, M, Tajdini, M, Kazemi Najafi, S., 2011. The effect of joint type on acoustical properties of jointed beam; Iranian Journal of sciences and techniques in natural resources; 6(4): 117-128
- Kohantorabi, M. Roohnia, M., 2013. Detection of defects in joints using the variations in dynamic shear modulus and correlation coefficient factor in beech wood; Iranian Journal of Wood and Paper Science Research. 28 (2): 239-251

## Nondestructive evaluation of the dynamic properties of beach wood using free vibration method on free-free bar

**M. Kohantorabi<sup>1\*</sup>, F. Golbabaei<sup>2</sup> and H. Hosseinkhani<sup>2</sup>**

1\*-Corresponding author, PhD Candidate, Department of wood science and technology, College of agriculture and natural resources, Science and research branch, Islamic Azad University, Tehran, Iran, Email: mostafa.kohantorabi@yahoo.com

2- Faculty member, Wood Science and its products research division, Research Institute of Forests and Rangelands, Tehran ,Iran

Received: March, 2014      Accepted: Nov., 2014

### Abstract

In this study the effect of different NDT methods on dynamic properties (flexural vibration of Timoshenko beam theory and longitudinal vibration method) of beech wood were evaluated. Twenty nine clear samples with nominal dimension of  $2 \times 4 \times 36$  cm were selected and bending vibration in free-free beams and longitudinal vibration tests was performed on the samples. Results showed strong correlation between dynamic Young's modulus and acoustic coefficient measured with both longitudinal vibration and flexural vibration method. The measured damping factor values were significantly higher in flexural vibration compared to longitudinal vibration method. While the acoustic converting efficiency values from flexural vibration was smaller than values of this factor in longitudinal vibration method .There was good correlation between dynamic shear modulus of elasticity from flexural vibrations and dynamic modulus of elasticity in both methods. This finding provides possibility of estimating the shear modulus of elasticity values based on dynamic Young's modulus of elasticity values from longitudinal vibration test. The results also indicated the existence of good correlation between the phase velocity in first to third modes from the bending vibration. In addition there was good correlation between sound velocity from longitudinal vibration and the phase velocity in first to third modes from the bending vibration.

**Keywords:** Free vibration method, dynamic properties, phase velocity, shear modulus, timoshenko beam theory.